

**УПРУГИЕ НАПРЯЖЕНИЯ
ВБЛИЗИ СТЫКОВ ГРАНИЦ КРИСТАЛЛИТОВ,
ИСПЫТЫВАЮЩИХ СОБСТВЕННЫЕ ДИСТОРСИИ**

III. X. Ханнанов

(Уфа)

1. Прочность и пластичность твердых тел в большой степени зависит от их надатомарной структуры. Для поликристаллических материалов такими важными структурными элементами являются кристаллиты (зерна), границы кристаллитов и стыки границ кристаллитов (СГК). В последнее время рядом исследователей установлено, что СГК (или стыки границ фрагментов) могут быть местами зарождения микротреции как при активной деформации [1, 2], так и в режиме ползучести [3, 4]. Концентрация термоупругих напряжений вблизи СГК часто вызывает микрорастрескивание керамических материалов [5]. Упругие напряжения, возникающие вблизи СГК, играют важную роль в процессах рекристаллизации [4] и сверхпластической деформации [6].

Концентрация упругих напряжений вблизи СГК может быть обусловлена различными факторами: упругой неоднородностью (или анизотропией) материала, высокотемпературным проскальзыванием по границам кристаллитов и, наконец, собственной дисторсией кристаллитов. Напряжения около остроконечных упругих неоднородностей рассматривались в [7]. Результаты [8] позволяют оценить упругие напряжения, связанные с проскальзыванием по пересекающимся границам кристаллитов. В данной работе рассматривается задача о нахождении распределения упругих напряжений около СГК в третьем случае, когда стыкующиеся кристаллиты испытывают собственные дисторсии. При этом под собственными дисторсиями понимаются любые (пластические, термические, магнитострикционные и т. д.) дисторсии кристаллитов неупругой природы. Вычисление напряжений удобно проводить методами континуальной теории дислокаций и дисклиниаций [9–11]. Внутренние упругие напряжения можно представить как наложение полей упругих напряжений распределенных дислокаций.

2. Рассмотрим n кристаллитов клиновидной формы с плоскими границами $OP^{(m)}$ ($m = 1, 2 \dots n$), стыкующимися вдоль оси z декартовой системы координат x, y, z (фиг. 1). Ось z перпендикулярна плоскости чертежа. Кристаллиты будем считать бесконечными вдоль оси z и подверженными собственной однородной дисторсии $\beta_{ik}^{(m)}$, где индекс m соответствует номеру кристаллита. В общем случае дисторсии $\beta_{ik}^{(m)}$ несовместны, и система кристаллитов в целом будет находиться в напряженном состоянии, не зависящем от z . Собственную дисторсию системы кристаллитов β_{ik} можно представить в виде суммы

$$(2.1) \quad \beta_{ik} = \sum_m \beta_{ik}^{(m)} \delta(V^{(m)}),$$

где [9]

$$\delta(V^{(m)}) = \int_{V^{(m)}} \delta(\mathbf{r} - \mathbf{r}') dV'.$$

Здесь $\delta(\mathbf{r})$ — дельта-функция; \mathbf{r} — радиус-вектор; $V^{(m)}$ — область, занимаемая m -м кристаллитом. Состоянию тела с заданной собственной дисторсией отвечает дислокационное состояние с тензором плотности дислокаций α_{pl} , определяемым соотношением [9–11]:

$$(2.2) \quad \alpha_{pl} = \epsilon_{prk} \beta_{kl,r},$$

где ϵ_{prk} — единичный антисимметричный тензор, индекс после запятой обозначает дифференцирование по соответствующей декартовой координате (индексы 1, 2, 3 соответствуют x, y, z). Подставляя (2.1) в (2.2), получаем

$$\alpha_{pl} = \sum_m \alpha_{pl}^{(m)},$$

где $\alpha_{pl}^{(m)}$ — тензор плотности дислокаций, соответствующий в (2.1) члену $\beta_{ik}^{(m)} \delta(V^{(m)})$: $\alpha_{pl}^{(m)} = \epsilon_{prk} \beta_{kl}^{(m)} \delta_{,r}(V^{(m)})$. Используя правило дифференцирования объемной дельта-функции [9] и уравнение границы $OP^{(m)}$ в фор-

ме ($k^{(m)}$ — угловой коэффициент прямой) $y = k^{(m)}x$, находим $\alpha_{pl}^{(m)} = -\varepsilon_{prk}\beta_{kl}^{(m)}\delta_r(S^{(m)})$, где $\delta_h(S^{(m)}) = \int_{S^{(m)}} \delta(\mathbf{r} - \mathbf{r}') dS'_h$ — поверхностная дельта-функция [9]; $S^{(m)}$ — поверхность границы $OP^{(m)}$. Как видно из (2.2), плотность дислокаций оказывается сосредоточенной на поверхности границ $S^{(m)}$. При этом будем считать, что m -й кристаллит имеет границы $S^{(m)}$, $S^{(m-1)}$ при $m \neq 1$ и границы $S^{(n)}$, $S^{(1)}$ при $m = 1$. Поверхность $S^{(m)}$ служит границей двум смежным областям $V^{(m-1)}$, $V^{(m)}$, причем $\delta_r(V^{(m-1)}) = -\delta_r(S^{(m)})$, $\delta_r(V^{(m)}) = \delta_r(S^{(m)})$. С учетом этого при суммировании $\alpha_{pl}^{(m)}$ получим для α_{pl} ($\delta(S^{(m)}) = \int_{S^{(m)}} \delta(\mathbf{r} - \mathbf{r}') dS'$)

$$(2.3) \quad \alpha_{pl} = \sum_m A_{pl}^{(m)} \delta(S^{(m)}),$$

где $A_{pl}^{(m)} = \varepsilon_{prk}\Delta\beta_{kl}^{(m)}n_r(S^{(m)})$; $n_r(S^{(m)})$ — нормаль к $S^{(m)}$; $\Delta\beta_{kl}^{(m)} = \bar{\beta}_{kl}^{(m)}$ — $\frac{\rho_{kl}^{(m-1)}}{\rho_{kl}^{(m)}}$ — скачок собственных дисторсий при переходе через $S^{(m)}$ из области $V^{(m-1)}$ в область $V^{(m)}$.

3. Перейдем к вычислению распределения внутренних упругих напряжений около СГК. Для простоты кристаллиты будем считать упруго изотропными и имеющими одинаковые упругие константы. Вычисление напряжений удобно провести отдельно для каждого плоского распределения дислокаций в (2.3) $A_{pl}^{(m)}\delta(S^{(m)})$ в собственной системе координат $x^{(m)}$, $y^{(m)}$, $z^{(m)}$. Координаты x , y , z и $x^{(m)}$, $y^{(m)}$, $z^{(m)}$ имеют общее начало, ось $z^{(m)}$ направлена вдоль оси z , ось $x^{(m)}$ лежит в плоскости $OP^{(m)}$, а ось $y^{(m)}$ — нормальна $OP^{(m)}$, как показано на фиг. 2. В дальнейшем все величины в собственной системе координат условимся помечать черточкой сверху. В собственной системе координат вектор нормали к $S^{(m)}$ имеет компоненты $(0, 1, 0)$, поэтому тензор $\bar{A}_{pl}^{(m)} = \varepsilon_{prk}\Delta\bar{\beta}_{kl}^{(m)}\bar{n}_r(S^{(m)})$ имеет следующие ненулевые компоненты:

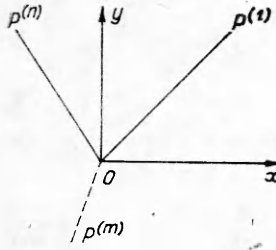
$$\begin{aligned} \bar{A}_{11}^{(m)} &= \Delta\bar{\beta}_{31}^{(m)}, \bar{A}_{12}^{(m)} = \Delta\bar{\beta}_{32}^{(m)}, \bar{A}_{13}^{(m)} = \Delta\bar{\beta}_{33}^{(m)}, \\ \bar{A}_{33}^{(m)} &= -\Delta\bar{\beta}_{13}^{(m)}, \bar{A}_{32}^{(m)} = -\Delta\bar{\beta}_{12}^{(m)}, \bar{A}_{11}^{(m)} = -\Delta\bar{\beta}_{11}^{(m)}. \end{aligned}$$

Далее будем вычислять упругие напряжения от каждой компоненты $\bar{A}_{ij}^{(m)}$, помечая компоненты тензора упругих напряжений дополнительными индексами сверху, например $\bar{\sigma}_{xz}^{ij(m)}$. Для простоты индекс m у координат будем опускать. Поля, соответствующие $\bar{A}_{22}^{(m)}\delta(S^{(m)})$, эквивалентны упругим полям, создаваемым винтовыми дислокациями, параллельными оси z , с вектором Бюргерса $b = (0, 0, 1)$, распределенными с плотностью $-\Delta\bar{\beta}_{13}^{(m)}$ по поверхности $S^{(m)}$. Интегрируя известные напряжения отдельных винтовых дислокаций [10], получаем для ненулевых компонент напряжений

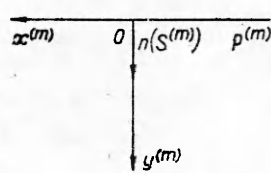
$$\bar{\sigma}_{xz}^{33(m)} = \frac{\mu}{2\pi} \Delta\bar{\beta}_{13}^{(m)} \left(\frac{\pi}{2} - \arctg \frac{x}{y} \right), \bar{\sigma}_{yz}^{33(m)} = \frac{\mu}{2\pi} \Delta\bar{\beta}_{13}^{(m)} \ln \left(\frac{\rho}{R_0} \right),$$

где μ — модуль сдвига; $\rho = \sqrt{x^2 + y^2}$; R_0 — радиус обрезания. Некоторые интегралы, вычисляемые по полной поверхности $S^{(m)}$, расходятся. Поэтому необходимо введение радиуса обрезания R_0 , который в рассматриваемой задаче можно положить равным среднему линейному размеру кристаллитов в конкретном поликристаллическом материале. В приводимых выражениях сохранены только главные члены с учетом $\rho \ll R_0$.

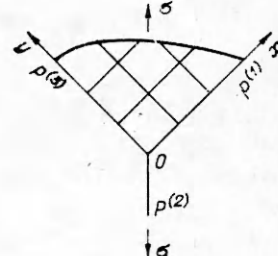
Упругие поля, связанные с $\bar{A}_{31}^{(m)}\delta(S^{(m)})$, эквивалентны полям, создаваемым краевыми дислокациями, параллельными оси z , с вектором Бюргерса $b = (1, 0, 0)$, распределенными с постоянной плотностью $-\Delta\bar{\beta}_{11}^{(m)}$



Фиг. 1



Фиг. 2



Фиг. 3

по поверхности $S^{(m)}$. Интегрируя известные напряжения от отдельных краевых дислокаций [10], получаем для ненулевых компонент напряжений

$$\begin{aligned}\bar{\sigma}_{xx}^{31(m)} &= \frac{\mu}{2\pi(1-\nu)} \Delta\bar{\beta}_{11}^{(m)} \left(\frac{\pi}{2} - 2\arctg \frac{x}{y} + \frac{xy}{\rho^2} \right), \quad \bar{\sigma}_{yy}^{31(m)} = -\frac{\mu}{2\pi(1-\nu)} \Delta\bar{\beta}_{11}^{(m)} \left(\frac{xy}{\rho^2} \right), \\ \bar{\sigma}_{zz}^{31(m)} &= \frac{\mu\nu}{\pi(1-\nu)} \Delta\bar{\beta}_{11}^{(m)} \left(\frac{\pi}{2} - \arctg \frac{x}{y} \right), \\ \bar{\sigma}_{xy}^{31(m)} &= \frac{\mu}{2\pi(1-\nu)} \Delta\bar{\beta}_{11}^{(m)} \left(\frac{y^2}{\rho^2} + \ln \frac{\rho}{R_0} \right),\end{aligned}$$

где ν — коэффициент Пуассона.

Компонента $\bar{A}_{32}^{(m)}\delta(S^{(m)})$ тензора плотности дислокаций вызывает упругие поля, эквивалентные полям, создаваемым краевыми дислокациями, параллельными оси z , с вектором Бюргерса $b = (0, 1, 0)$, распределенными с постоянной плотностью $-\Delta\bar{\beta}_{12}^{(m)}$ по поверхности $S^{(m)}$. Интегрирование известных напряжений от одиночных дислокаций указанного типа [10] дает для ненулевых компонент упругих напряжений

$$\begin{aligned}\bar{\sigma}_{xx}^{32(m)} &= \frac{\mu}{2\pi(1-\nu)} \Delta\bar{\beta}_{12}^{(m)} \left(\frac{y^2}{\rho^2} + \ln \frac{\rho}{R_0} \right), \quad \bar{\sigma}_{yy}^{32(m)} = \\ &= \frac{\mu}{2\pi(1-\nu)} \Delta\bar{\beta}_{12}^{(m)} \left(-\frac{y^2}{\rho^2} + \ln \frac{\rho}{R_0} \right), \\ \bar{\sigma}_{zz}^{32(m)} &= \frac{\mu\nu}{\pi(1-\nu)} \Delta\bar{\beta}_{12}^{(m)} \left(\ln \frac{\rho}{R_0} \right), \quad \bar{\sigma}_{xy}^{32(m)} = -\frac{\mu}{2\pi(1-\nu)} \Delta\bar{\beta}_{12}^{(m)} \left(\frac{xy}{\rho^2} \right).\end{aligned}$$

Весьма простой вид имеет упругое поле от компоненты $\bar{A}_{11}^{(m)}\delta(S^{(m)})$ тензора плотности дислокаций, которое эквивалентно полям от полу бесконечных винтовых дислокаций, параллельных оси x , с вектором Бюргерса $b = (1, 0, 0)$, распределенных с постоянной плотностью $\Delta\bar{\beta}_{31}^{(m)}$ по поверхности $S^{(m)}$. Интегрируя напряжения от полу бесконечной винтовой дислокации [12], получаем для единственной ненулевой компоненты тензора упругих напряжений

$$\bar{\sigma}_{xz}^{11(m)} = \frac{\mu}{2\pi} \Delta\bar{\beta}_{31}^{(m)} \left(\frac{\pi}{2} - \arctg \frac{x}{y} \right).$$

Вклад от компоненты $\bar{A}_{12}^{(m)}\delta(S^{(m)})$ тензора плотности дислокаций определяется путем интегрирования упругих напряжений от полу бесконечных краевых дислокаций, параллельных оси x , с вектором Бюргерса $b = (0, 1, 0)$, распределенных с постоянной плотностью $\Delta\bar{\beta}_{32}^{(m)}$ по поверхности $S^{(m)}$. Ненулевые компоненты тензора напряжений имеют вид

$$\bar{\sigma}_{xx}^{12(m)} = -\frac{\mu}{2\pi(1-\nu)} \Delta\bar{\beta}_{32}^{(m)} \left(\frac{xy}{\rho^2} \right), \quad \bar{\sigma}_{xz}^{12(m)} =$$

$$\bar{\sigma}_{xy}^{12(m)} = \frac{\mu}{2\pi(1-v)} \Delta \bar{\beta}_{32}^{(m)} \left[\frac{\rho^2}{x^2} \left(\frac{\pi}{2} - 2 \arctg \frac{x}{y} \right) + 2 \frac{y\rho^2}{x^3} \right].$$

Наконец, вклад от компоненты $\bar{A}_{12}^{(m)} \delta(S^{(m)})$ тензора плотности дислокаций определяется путем интегрирования упругих напряжений от полубесконечных краевых дислокаций, параллельных оси x , с вектором Бюргерса $b = (0, 0, 1)$, распределенных с постоянной плотностью $\Delta \bar{\beta}_{33}^{(m)}$ по поверхности $S^{(m)}$. Для ненулевых компонент тензора напряжений получаем

$$\begin{aligned}\bar{\sigma}_{xx}^{13(m)} &= \frac{\mu}{2\pi(1-v)} \Delta \bar{\beta}_{33}^{(m)} \left(\frac{xy}{\rho^2} - 2v \arctg \frac{x}{y} - 3\pi v \right), \\ \bar{\sigma}_{yy}^{13(m)} &= \frac{\mu}{2\pi(1-v)} \Delta \bar{\beta}_{33}^{(m)} \left(\frac{x^4 - y^4 - x^2y^2 + xy^3 - yx^3}{x^2\rho^2} + \pi \frac{y^3}{x^2\rho} \right), \\ \bar{\sigma}_{zz}^{13(m)} &= \frac{\mu}{2\pi(1-v)} \Delta \bar{\beta}_{33}^{(m)} \left(\frac{y^2 - xy}{x^2} \arctg \frac{x}{y} - 2 \frac{y^3}{x^3} + \frac{\pi}{2} \frac{x^2 - y^2}{x^2} \right), \\ \bar{\sigma}_{xy}^{13(m)} &= \frac{\mu}{2\pi(1-v)} \Delta \bar{\beta}_{33}^{(m)} \left(v \ln \frac{\rho}{2R_0} + \frac{y^2}{\rho^2} \right).\end{aligned}$$

Полные напряжения σ_{ij} , создаваемые всеми компонентами тензора плотности дислокаций $\bar{A}_{kl}^{(m)} \delta(S^{(m)})$, с учетом вклада всех поверхностных распределений можно записать в виде суммы

$$\sigma_{ij} = \sum_{k,l,m} \bar{\sigma}_{ij}^{kl(m)},$$

где $\bar{\sigma}_{ij}^{kl(m)} = \sum_{s,t} a_{is}^{(m)} a_{jt}^{(m)} \bar{\sigma}_{st}^{kl(m)}$ — компоненты тензора напряжений в лабораторной системе координат; $a_{is}^{(m)}$ — матрица преобразования координат при переходе от собственной системы координат к лабораторной. Следует отметить, что напряжения $\bar{\sigma}_{ij}^{kl(m)}$ в отдельности могут и не удовлетворять уравнениям равновесия $\sum_j \bar{\sigma}_{ij,j}^{kl(m)} = 0$, так как физический смысл имеют только полные напряжения [12].

В качестве приложения полученных выше результатов проведем анализ внутренних напряжений, которые могут возникнуть вблизи тройных СГК в процессе пластической деформации поликристалла. Рассмотрим три стыкующихся вдоль оси z кристаллита, как это представлено на фиг. 3 (здесь используются те же обозначения, что и на фиг. 1). Пусть под действием внешних растягивающих напряжений σ первый верхний кристаллит пластически течет путем скольжения по плоскостям, параллельным осям x и y (на фиг. 3 плоскости изображены прямыми линиями), а остальные кристалллы остаются в упругом состоянии (для них неблагоприятен фактор Шмидта [4]). Если принять допущение, что пластическая деформация однородна, то собственная (пластическая) дисторсия первого кристаллита имеет ненулевые компоненты $\beta_{xy}^{(1)} = \beta_{yz}^{(1)} = \gamma$, где γ — величина деформации растяжения. В этом случае из предыдущих формул следует, что вблизи тройного СГК возникают упругие напряжения, эквивалентные напряжениям от двуосного диполя (с плечом R_0) клиновых дисклиниаций [11]. В любой плоскости, проходящей через ось z , будут действовать одинаковые нормальные растягивающие напряжения

$$\sigma_n(\rho) = [\mu/2\pi(1-v)]2\gamma \ln(R_0/\rho).$$

Зарождение микротрешины в таком поле напряжений рассматривалось

ранее [13], и условие зарождения микротрешины можно записать в виде

$$\gamma = \gamma_+ = 2[2\pi(1 - v)\Gamma/\mu a]^{1/2}[\ln(4R_0/a)]^{-1},$$

где Γ — поверхностная энергия разрушения; a — параметр решетки; γ_+ — критическая степень деформации.

Если положить для оценки $[4\pi(1 - v)/\mu a]\Gamma \sim 1$ [13], то зарождение микротрешины произойдет после критической деформации $\gamma_+ \sim \sim \sqrt{2}[\ln(4R_0/a)]^{-1}$, которая уменьшается с ростом размера кристаллитов R_0 . Рассмотренное выше поведение поликристалла (течение происходит лишь в некоторых благоприятно ориентированных кристаллитах) может наблюдаться при $\sigma < \sigma_+$, т. е. когда внешние напряжения не пре-восходят макроскопического предела текучести σ_+ . Для σ_+ имеет место зависимость Петьча — Холла [4] от размера кристаллитов R_0 вида $\sigma_+ = \sigma_0 + kR_0^{-1/2}$, где σ_0 , k — некоторые материальные константы. Сравнивая зависимости для $\gamma \sim \sigma/\mu$ и γ_+ , σ_+ , можно видеть, что условия $\gamma = \gamma_+$ и $\sigma < \sigma_+$ могут выполняться одновременно при малых размерах кристаллитов R_0 . Такой вывод хорошо согласуется с экспериментальными наблюдениями [2], в которых растрескивание (расслоение) начинается после того, как в ходе пластической деформации образуется фрагментированная структура с очень малым размером кристаллитов R_0 .

Сказанное относилось к материалам, подвергаемым активной деформации и способным упрочняться. Рассмотрим теперь случай, когда поликристаллический материал деформируется без существенного упрочнения (режим высокотемпературной ползучести или сверхпластической деформации [4, 14]). Учитывая, что в данном случае пластически деформируются все кристаллиты, следует принимать во внимание относительную (разностную) деформацию кристаллита $\Delta\gamma$, которая определяется как разность между пластической деформацией кристаллита и пластической деформацией окружения. Предполагая степенную зависимость скорости деформации от напряжения [4, 14], запишем для скорости изменения $d\Delta\gamma/dt$ уравнение вида

$$\frac{d}{dt} \Delta\gamma = \gamma_0 \left(\frac{\sigma - \kappa\Delta\gamma}{m_1} \right)^p - \gamma_0 \left(\frac{\sigma}{m_2} \right)^p,$$

где p — показатель степени; γ_0 , κ — константы; m_1 , m_2 — эффективные ориентационные факторы для рассматриваемого кристаллита и его окружения. Первый член справа имеет смысл скорости пластической деформации кристаллита с учетом стеснения окружением (т. е. обратного напряжения $-\kappa\Delta\gamma$), второй — скорости пластической деформации окружения. Разностная пластическая деформация кристаллита $\Delta\gamma$ нарастает, если $m_1 < m_2$, т. е. если кристаллит имеет более благоприятную ориентацию относительно оси растяжения, чем окружение. Однако $\Delta\gamma$ стабилизируется стесняющим действием окружения (напряжениями $-\kappa\Delta\gamma$). Если для оценки считать кристаллит сферическим по форме, то, следуя методу Эшелби [15], получаем для κ

$$\kappa = \frac{2}{9} \frac{(1-2v)}{(1-v)} \left(2\mu + \frac{Ev}{(1+v)(1-2v)} \right) + \frac{4}{45} (7-5v) \mu,$$

где E — модуль Юнга. При $t \rightarrow \infty$ $\Delta\gamma \rightarrow \Delta\gamma_{\max} = (1/\kappa)(1 - m_1/m_2)\sigma$. Пусть $\Delta\gamma_{\max} \gg \gamma_+$ — критической деформации для зарождения микротрешины (или поры). Тогда вплоть до достижения $\Delta\gamma$ критического значения γ_+ обратными напряжениями $-\kappa\Delta\gamma$ можно пренебречь, и λ — отношение скорости разностной деформации $d\Delta\gamma/dt$ к скорости деформации окружения $(\sigma/m_2)^p$ — выражается формулой $\lambda = (m_2/m_1 - 1)^p$. При $\sigma = \text{const}$ величина общей пластической деформации образца (полагаем ее равной пластической деформации окружения) до момента разрушения $\gamma_- = \gamma_+/\lambda$ и при $\gamma_+ = \text{const}$ тем больше, чем меньше λ . Большие значения γ_- возможны при больших p , если $m_2/m_1 > 2$, и при малых p , если

$1 \leq m_2/m_1 < 2$. Величина $1/p$ называется коэффициентом скоростной чувствительности [14], причем для сверхпластической деформации характерны большие значения как γ_- , так и $1/p$. Это согласуется с проведенным выше качественным анализом, если считать, что $1 \leq m_2/m_1 < 2$. Такое предположение, по-видимому, следует считать разумным, так как сверхпластическая деформация наблюдается при высоких температурах, когда развито множественное скольжение и когда разброс эффективных ориентационных факторов должен быть малым (отношение m_2/m_1 мало отличается от единицы). Это подтверждается, в частности, отсутствием текстуры при сверхпластической деформации [14].

Поступила 19 I 1981

ЛИТЕРАТУРА

1. Gardner R. N., Pallock T. C., Wilsdorf H. G. F. Crack initiation at dislocation cell boundaries in the ductile fracture of metals.— Materials Science and Engineering, 1977, vol. 29, N 2.
2. Иващенко Р. К., Мильман Ю. В. и др. Анизотропия низкотемпературной пластичности и склонность деформированного молибдена к расслоению.— Проблемы прочности, 1973, № 7.
3. Разрушение/Под. ред. Г. Либовица. Т. 1. М.: Мир, 1974.
4. Хоникомб Р. Пластическая деформация металлов. М.: Металлургия, 1972.
5. Evans A. G. Microfracture from thermal expansion anisotropy. I.— J. Appl. Phys., 1978, vol. 26, N 12.
6. Chaudhari P. A dislocation cascade mechanism in superplasticity.— Metallurgical Transactions, 1974, vol. 5, N 7.
7. Панасюк В. В., Бережницкий Л. Г., Садивский В. М. Коэффициенты интенсивности и распределение напряжений около остроугольных упругих включений.— ДАН СССР, 1977, т. 232, № 2.
8. Ханианов Ш. Х. О распределении дислокаций в пересекающихся скоплениях в кристаллах с кубической симметрией.— ФММ, 1978, т. 46, № 1.
9. Кунин И. А. Теория дислокаций.— Дополнение к книге: Я. Схутен. Тензорный анализ для физиков. М.: Наука, 1965.
10. Косевич А. М. Дислокации в теории упругости. Киев: Наукова думка, 1978.
11. Де Вит Р. Континальная теория дислокаций. М.: Мир, 1977.
12. Хирт Дж., Лоте И. Теория дислокаций. М.: Атомиздат, 1972.
13. Ханианов Ш. Х. Раскалывание кристалла дислокационной стенкой наклона.— ФТТ, 1978, т. 20, № 1.
14. Грабский М. В. Структурная сверхпластичность металлов. М.: Металлургия, 1975.
15. Эшлби Дж. Континальная теория дислокаций. М.: ИЛ, 1963.

УДК 539.4;539.376

К ПРОБЛЕМЕ ОЦЕНКИ ДЛЯТЕЛЬНОЙ ПРОЧНОСТИ ПРИ СТУПЕНЧАТОМ НАГРУЖЕНИИ

А. М. Локощенко, С. А. Шестериков

(Москва)

Во многих исследованиях работы конструкций при переменных напряжениях в условиях длительного высокотемпературного воздействия основным вопросом является возможность оценки времени разрушения по результатам испытаний при постоянных напряжениях. В качестве самой простой и наиболее известной гипотезы обычно используется правило линейного суммирования парциальных времен, предложенное в [1] для анализа результатов испытаний при переменной температуре. Рассмотрим случай, когда напряжение в образце, равное σ_1 и действовавшее время t_1 , скачком меняется на σ_2 и остается постоянным в течение t_2 вплоть до разрушения в момент времени $t^* = t_1 + t_2$. Сумму парциальных времен запишем в виде

$$(1) \quad A = t_1/t_1^* + t_2/t_2^*.$$